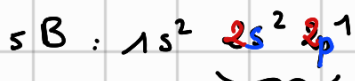


CORRECTION Extrait CCINP TPC 2020 NaBH₄

Q23

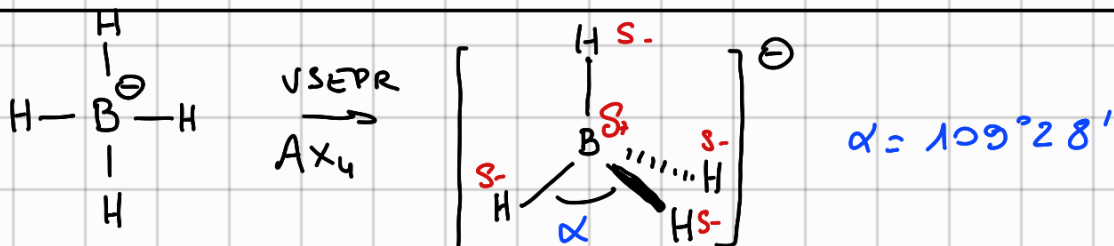


OA de valence : $m = 2$ (n^o quantique principal)

$$2s \Rightarrow l=0$$

$$2p \Rightarrow l=1] \text{ n}^{\circ}\text{bes quantiques secondaires}$$

Q24



Donc : $\chi(B) = 2,04 < \chi(H) = 2,10 \Rightarrow \overset{S+}{B} - \overset{S-}{H}$

Ainsi les liaisons B-H sont à priori polarisées vers H⁻. En H₄⁻ sur l'ion hydure d'où le nom de cette espèce, H₄⁻ préfigurant H₄.

Q25



des réactions entre solides sont toujours très lentes car les zones de contact entre grains de solides sont infimes.

Dans la réaction (1) l'un des réactifs est gazeux, qui peut pénétrer au plus profond des grains du solide CH₃ONa(s), peu peu qu'il ait été travaillé en poussière. La réaction sera donc + rapide.

Q26

$N = N - Y$ où N est le n^o de paramètres intensifs.

Y le n^o de relations qui le limitent.

Chaque solide étant pur dans sa phase, le gaz B₂H₆ étant en principe le seul gaz, chaque fraction molaire de réactifs vaut 1.

$$\Rightarrow N: T, P.$$

$$Y: \text{À } 0^\circ \text{ équilibre, } K^\circ(T) = Q = \frac{P^{eq}}{P^2} \Rightarrow Y=1 \quad \boxed{N=2} \quad \boxed{Y=1} \quad \boxed{N=1}$$

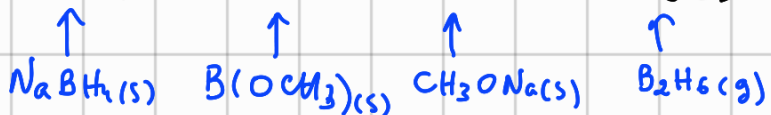
Donc on peut choisir de fixer T et l'équilibre fixera la pression d'équilibre : $P_{eq} = f(T)$.

On peut aussi choisir de fixer P, et l'équilibre se réalisera à une température unique : $T_{eq} = f(P)$.

Industriellement, on pourra choisir de fixer T et P de sorte que l'on crée une situation où l'équilibre ne pourra être atteint
(\Leftrightarrow conditions pour une réaction TOTALE) ($L = -1$).

[Q27] $S^\circ_{(s)} < S^\circ_{(liq)} < S^\circ_{(gas)}$.

$$\Rightarrow \Delta r S^\circ_{(1)} \approx 3S^\circ_{(s)} + S^\circ_{(s)} - 3S^\circ_{(s)} - 2S^\circ_{(gas)}$$



$$\Rightarrow \Delta r S^\circ_{(1)} \approx \cancel{S^\circ_{(s)}} - 2S^\circ_{(gas)} \approx -2S^\circ_{(gas)} < 0.$$

négligeable

OPTIMISATION • la réaction (1) est exothermique (donné dans le descriptif de l'introduction). ($\Rightarrow \Delta r H^\circ < 0$)

$$Gr \frac{d \ln K^\circ(T)}{dT} = \frac{\Delta r H^\circ}{RT^2} < 0$$

$K^\circ(T)$ est donc une fonction décroissante de T : Si faut donc travailler à température faible pour que $K^\circ(T)$ soit le + grand possible \Rightarrow l'avancement à l'équilibre optimisé

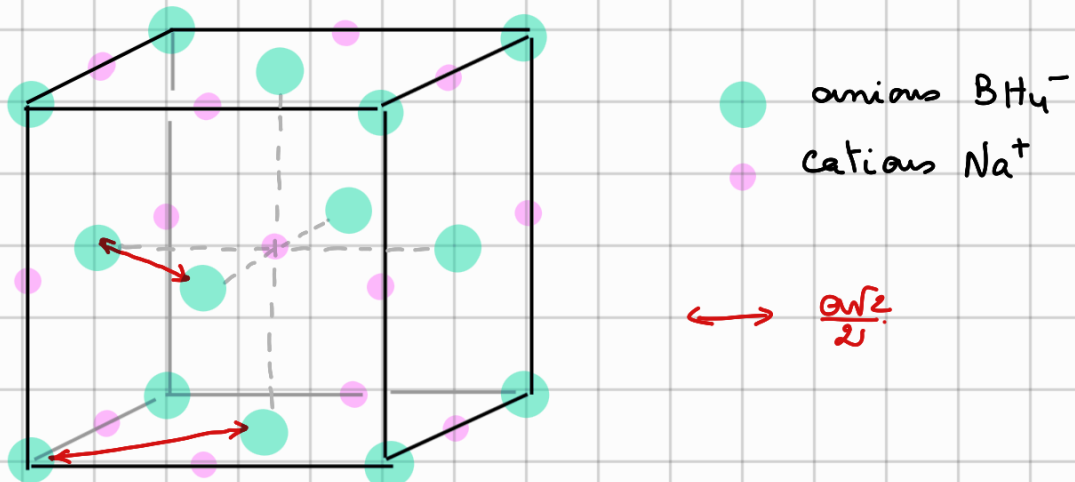
$$\bullet Q = \frac{P^{\circ 2}}{P_2} \Rightarrow \begin{cases} Si \cdot P \nearrow & Q \searrow \\ Si \cdot P \searrow & Q \nearrow \end{cases}$$

$$A l'équilibre \Delta r G = 0 = RT \ln \frac{Q}{K^\circ(T)} \Rightarrow \begin{cases} Si \cdot P \nearrow \Rightarrow \Delta r G < 0 \\ Si \cdot P \searrow \Rightarrow \Delta r G > 0 \end{cases}$$

Gr le second principe $\Delta r G \cdot d\zeta < 0 \Rightarrow d\zeta > 0$ si $\Delta r G < 0$.

\Rightarrow Il faut travailler à P élevé pour optimiser le R)

Q28



La distance disponible pour 2 anions les plus proches, $f(a) > 2r^-$
 $f(a)$ ici vaut $\frac{a\sqrt{2}}{2}$ (voir schéma ci-dessus \longleftrightarrow)

$$\text{Donc } \frac{a\sqrt{2}}{2} > 2r^- \quad \text{or } a = 0,610 \text{ mm} \Rightarrow r^- < \frac{0,610 \times \sqrt{2}}{4}$$

↑
fourni

$$\Rightarrow r^- < 0,216 \text{ mm}$$

Q29 Voir \bullet sur le schéma Q28.

La relation de contact cation/anion coordonné donne le paramètre a :

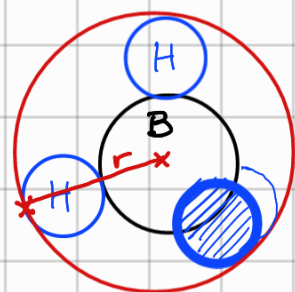
$$a = 2r^+ + 2r^- \quad (\text{le long d'une arête par exemple}).$$

↑
0,610
↑
0,1
(donnés)

$$\Rightarrow r^- = \frac{0,610 - 0,2}{2} = 0,205 \text{ mm}$$

Q30

Si l'on admet, compte tenu de la structure tétraédrique du BH_4^- , que le rayon de l'anion BH_4^- est celui de la sphère contenant le tétraèdre:

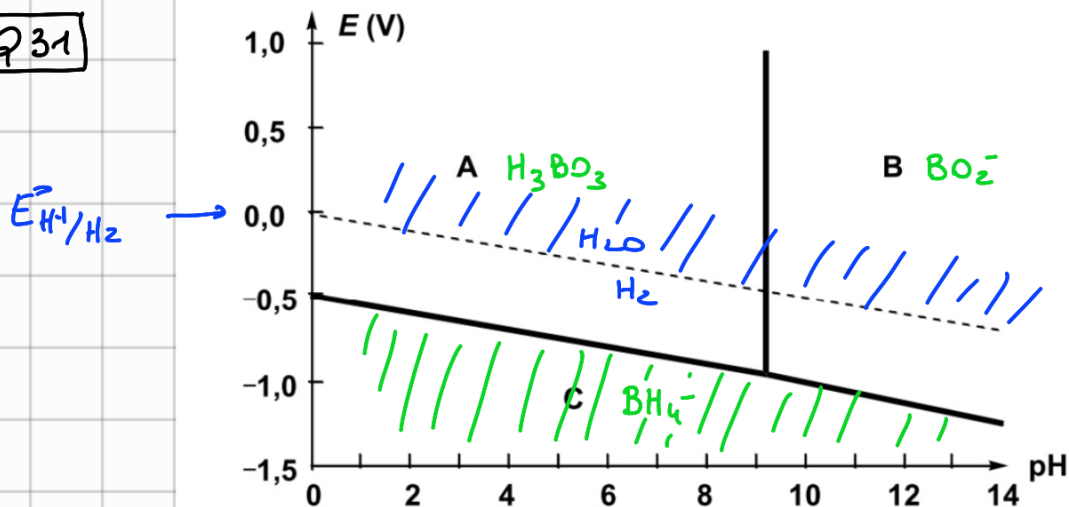


$$\Rightarrow r_{\text{BH}_4^-} = r_B + 2r_H$$

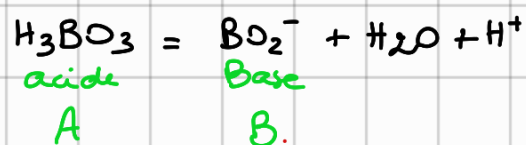
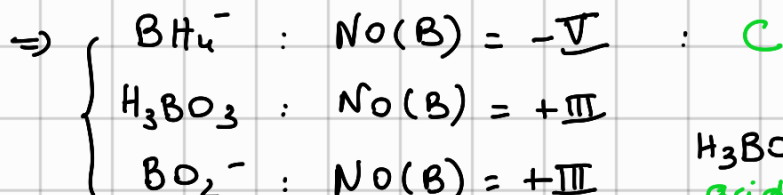
Hyp cordeur $\rightarrow 0,08 + 2 \times 0,06 = 0,160 \text{ mm}$
 Hyp ionique $\rightarrow 0,030 + 2 \times 0,160 = 0,350 \text{ mm}$

Le rayon réel $r = 0,205 \text{ mm}$ est intermédiaire \Leftrightarrow liaison ionique partiellement covalente, ou liaison covalente très polarisée.

Q31



Pour calculer les NO, gardons le formalisme usuel : $NO(H) = +I$
 $NO(O) = -II$

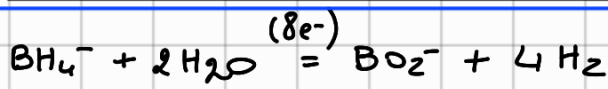


Le diagramme complet montre que BH_4^- RÉDUCTEUR dans un domaine disjoint avec le domaine de l'eau OXYDANTE, à tous pts.
|||||

Q32



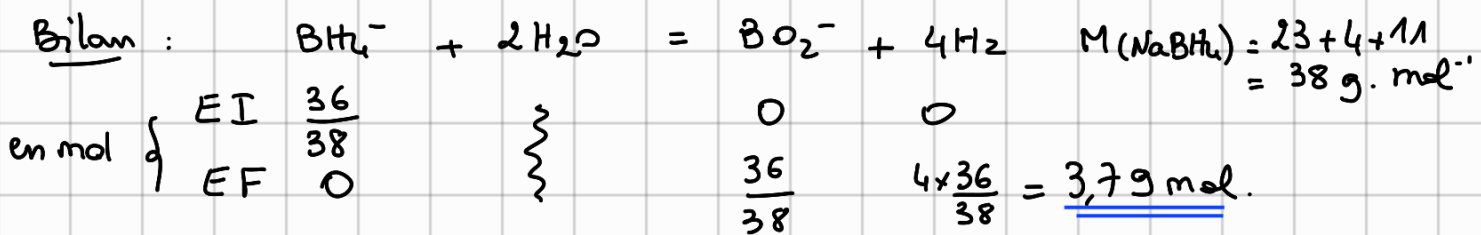
$\parallel \times 4$



On remarque que le bilan ne fait pas apparaître H^+ ou OH^- .

$$K^\circ(T) = 10^{\frac{8}{906} (E^\circ_{H^+/H_2} - E^\circ_{BO_2^-/BH_4^-})} = 10^{+54,7}$$

total :

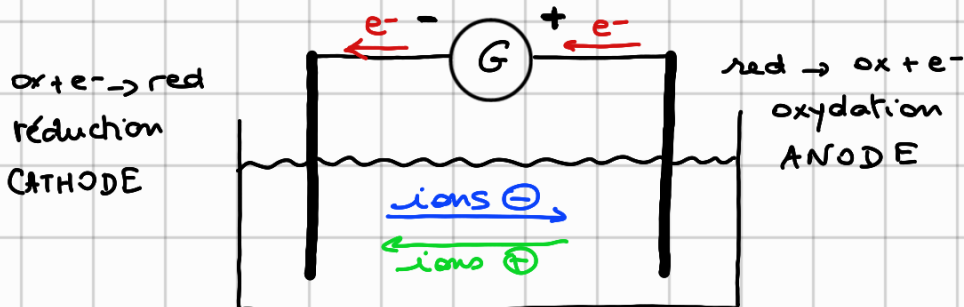


Capacité de stockage = $C = \frac{3,79 \times 2}{100 + 36} = 0,056$ Soit 5,6 %

$\leftarrow m_{H_2} \text{ libéré}$

$\xrightarrow{\text{masse solution} + NaBH_4}$

Q43 Une électrolyse est un processus redox forcé, dont l'énergie est fournie par un générateur, nécessaire pour réaliser la transformation non spontanée Nouvelle.



La polarité choisie du générateur impose :

- 1) le sens de circulation des e^-
- 2) les $1/2$ réactions aux électrodes (oxydation/réduction)
- 3) la dénomination des électrodes (anode/cathode)
- 4) les ions \ominus circulent en "boucle" avec les e^-
les ions \oplus ————— en sens inverse

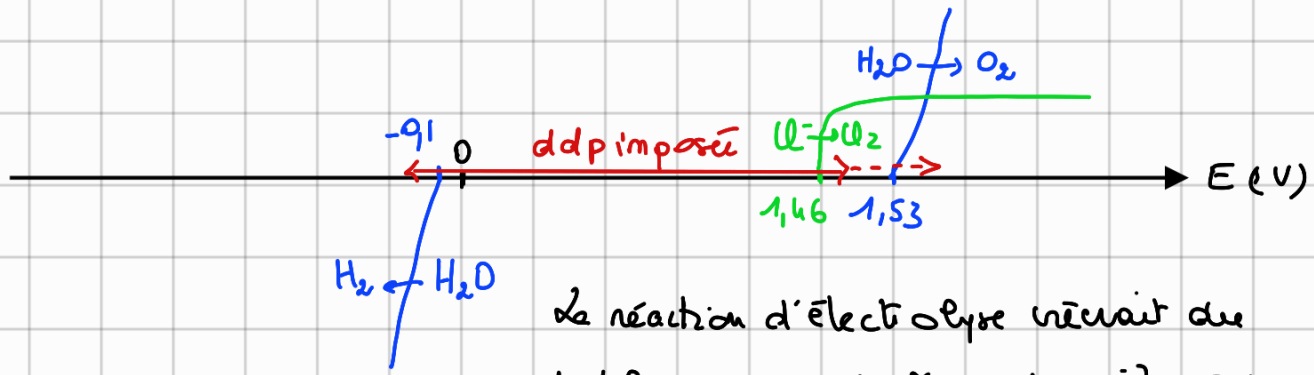
Q44 Pas d'eau déionisée, car il faut des ions en solution pour permettre de former le circuit grâce à la circulation des ions en solution.

Etude de l'électrolyse en milieu $H^+ + Cl^-$

Oxydations possibles : $H_2O \rightarrow O_2$ $E_s = E^\circ + 0,3 = 1,53V$

$Cl^- \rightarrow Cl_2$ $E_s = E^\circ + 0,1 = 1,46V$

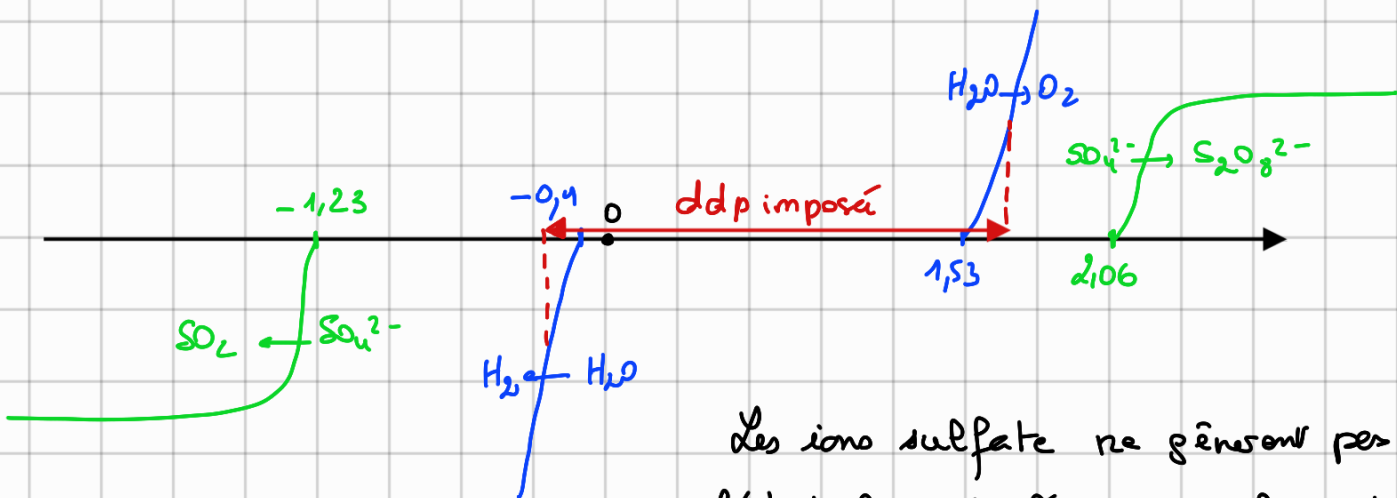
Réductions possibles : $H^+ \rightarrow H_2$ $E_s = E^\circ - 0,1 = -0,1V$.



La réaction d'électrolyse nécessite des dichlors aussi à l'anode, mêlant à O_2 en augmentant encore le ddp.

Etude de l'électrolyse en milieu $H^+ + SO_4^{2-}$

<u>Oxidations possibles</u> :	$H_2O \rightarrow O_2$	$E_S = E^\circ + 0,3 = 1,53V$
	$SO_4^{2-} \rightarrow S_2O_8^{2-}$	$E_S = E^\circ + 0,1 = 2,06V$
<u>Réductions possibles</u> :	$H^+ \rightarrow H_2$	$E_S = E^\circ - 0,1 = -0,1V$
	$SO_4^{2-} \rightarrow SO_2$	$E_S = E^\circ - 1,4 = -1,23V$



Les ions sulfate ne gènèrent pas d'électrolyse de l'eau, car les courbes sont déportées au delà de E_S où il n'y a pas de courant.

Donc meilleur choix :

Solution de H_2SO_4

Q45

